



Министерство науки и высшего образования Российской Федерации
федеральное государственное бюджетное образовательное учреждение
высшего профессионального образования
«Московский государственный технический университет имени
Н.Э. Баумана (национальный исследовательский университет)»
(МГТУ им. Н.Э. Баумана)

ФАКУЛЬТЕТ «Робототехники и комплексной автоматизации»
КАФЕДРА «Системы автоматизированного проектирования (РК-6)»

ОТЧЕТ О ВЫПОЛНЕНИИ ЛАБОРАТОРНОЙ РАБОТЫ по дисциплине «Вычислительная математика»

Студент:	Кутепов Никита Сергеевич
Группа:	РК6-55Б
Тип задания:	лабораторная работа
Тема:	Использование аппроксимаций для численной оптимизации

Студент

Кутепов Н. С.

Фамилия, И.О.

Преподаватель

Фамилия, И.О.

Москва, 2021

Содержание

Использование аппроксимаций для численной оптимизации	3
1 Реализация функции <code>composite_simpson(a, b, n, f)</code> численного интегрирования с помощью составной формулы Симпсона.	5
2 Реализация функции <code>composite_trapezoid(a, b, n, f)</code> численного интегрирования с помощью составной формулы трапеций.	6
3 Построение log-log графика зависимости абсолютной погрешности численного интегрирования от шага интегрирования	6
4 Определение порядка точности формулы по графику. Сравнение порядка точности, полученного с помощью графика, с аналитическим.	9
5 Определение оптимального шага интегрирования для заданной формулы	12
6 Преобразование задачи о минимизации функционала к полудискретной форме	12
7 Преобразование задачи к полностью дискретной форме с помощью составной формулы Симпсона	14
8 Решение задачи минимизации, используя различные конфигурации дискретизации. Оценка зависимости погрешности решения от шага интерполяции и шага интегрирования	14
9 Заключение	15

Использование аппроксимаций для численной оптимизации

Задание

Методы аппроксимации, такие как интерполяция и численное интегрирование, часто используются как составные блоки других, более сложных численных методов. В данной лабораторной работе мы рассмотрим одну из старейших задач вариационного исчисления: задачу о брахистохроне, т.е. задачу о кривой наискорейшего спуска. Она состоит в нахождении такой кривой, по которой материальная точка из точки $(x, y) = (0, 0)$ достигнет точки $(x, y) = (a, y_a)$ под действием силы тяжести за наименьшее время (здесь и далее ось y направлена вниз). Решением этой задачи является такая кривая $y(x)$, которая минимизирует следующий функционал, являющийся полным временем движения материальной точки:

$$F[y] = \int_0^a \sqrt{\frac{1 + (y'(x))^2}{2gy(x)}} dx \quad (1)$$

где g обозначает ускорение свободного падения, и $y'(x) = dy/dx$. Эта задача имеет аналитическое решение, которым является параметрически заданная циклоида:

$$\begin{bmatrix} x(t) \\ y(t) \end{bmatrix} = C \begin{bmatrix} t - \frac{1}{2} \sin(2t) \\ \frac{1}{2} - \frac{1}{2} \cos(2t) \end{bmatrix}, \quad (2)$$

где $t \in [0; T]$ и C, T являются константами, значения которых находятся из граничного условия. В базовой части требуется воспользоваться численным интегрированием для нахождения полного времени движения материальной точки по кривой наискорейшего спуска. В продвинутой части требуется разработать метод для нахождения аппроксимации этой кривой. Здесь и далее принимается $a = 2$ и $y_a = 1$. Константы циклоиды для этого граничного условия равны $C = 1.03439984$, $T = 1.75418438$.

Требуется (базовая часть):

1. Написать функцию `composite_simpson(a, b, n, f)` численного интегрирования функции f на интервале $[a; b]$ по n узлам с помощью составной формулы Симпсона.
2. Написать функцию `composite_trapezoid(a, b, n, f)` численного интегрирования функции f на интервале $[a; b]$ по n узлам с помощью составной формулы трапеций.
3. Рассчитать интеграл (1) для функции $y(x)$, соответствующей кривой наискорейшего спуска, с помощью составной формулы Симпсона и составной формулы трапеций для множества значений $n \in [3; 9999]$. Постройте $\log\text{-}\log$ график зависимости абсолютной погрешности численного интегрирования от шага интегрирования для обеих формул.

4. Объясните, каким образом по полученному графику можно определить порядок точности формулы.
5. Для обеих формул сравните порядок, полученный с помощью графика, с аналитическим порядком точности.
6. Существует ли оптимальный шаг интегрирования для данной формулы, минимизирующий достижимую погрешность? Обоснуйте свой ответ.

Требуется (продвинутая часть):

1. Используя кусочно-линейную интерполяцию с равноудаленными узлами, преобразовать задачу о минимизации функционала **1** к полудискретной форме, где аргументами минимизации будут параметры кусочно-линейной интерполяции.
2. Далее, используя составную формулу Симпсона, преобразовать задачу к полностью дискретной форме.
3. Решить полученную задачу минимизации, используя различные конфигурации дискретизации: с шагом интерполяции и шагом интегрирования от 10^{-3} до 1.
4. Используя log-log графики и линии уровня, оценить зависимость погрешности решения от шага интерполяции и шага интегрирования.

Цель выполнения лабораторной работы

Цель выполнения лабораторной работы – реализовать методы численного интегрирования, применить их для нахождения полного времени движения материальной точки по кривой наискорейшего спуска. Разработать метод для нахождения аппроксимации кривой.

Поставленные задачи

1. Написать функцию `composite_simpson(a, b, n, f)` численного интегрирования функции f с помощью составной формулы Симпсона.
2. Написать функцию `composite_trapezoid(a, b, n, f)` численного интегрирования функции f с помощью составной формулы трапеций.
3. Построить log-log график зависимости абсолютной погрешности численного интегрирования от шага интегрирования для обеих формул.
4. Определить порядок точности формулы по графику. Для обеих формул сравнить порядок точности, полученный с помощью графика, с аналитическим.
5. Определить, существует ли оптимальный шаг интегрирования для данной формулы, минимизирующий погрешность.

6. Преобразовать задачу о минимизации функционала к полудискретной форме.
7. Используя составную формулу Симпсона, преобразовать задачу к полностью дискретной форме.
8. Решить полученную задачу минимизации, используя различные конфигурации дискретизации. Оценить зависимость погрешности решения от шага интерполяции и шага интегрирования.

1 Реализация функции `composite_simpson(a, b, n, f)` численного интегрирования с помощью составной формулы Симпсона.

Рассмотрим составную формулу Симпсона:

$$\int_a^b f(x)dx = \frac{h}{3} \left[f(x_1) + 2 \sum_{i=1}^{n/2-1} f(x_{2i+1}) + 4 \sum_{i=1}^{n/2} f(x_{2i}) + f(x_{n+1}) \right] - \frac{(b-a)h^4}{180} f^{(4)}(\xi), \quad (3)$$

где $x_i = a + (i-1)h$, $h = \frac{b-a}{n}$, $i = 1, \dots, n+1$, n - четное число. При этом будем считать остаточный член слишком малым, поэтому в программной реализации он не учитывается. Тогда итоговый вид составной формулы Симпсона будет выглядеть так:

$$\int_a^b f(x)dx = \frac{h}{3} \left[f(x_1) + 2 \sum_{i=1}^{n/2-1} f(x_{2i+1}) + 4 \sum_{i=1}^{n/2} f(x_{2i}) + f(x_{n+1}) \right]. \quad (4)$$

Листинг 1. Функция численного интегрирования составной формулой Симпсона.

```

1 def composite_simpson(a, b, n, f):
2     if n % 2 == 1:
3         n -= 1
4         f.pop(len(f) - 1)
5
6     h = (b - a) / n
7     len_f = len(f)
8     odd_sum = 0
9     even_sum = 0
10
11    for i in range(1, len_f - 1):
12        if (i + 1) % 2 == 0:
13            even_sum += f[i]
14        else:
15            odd_sum += f[i]
16
17    f_sim = (h / 3) * (f[0] + 2 * odd_sum + 4 * even_sum + f[len_f - 1])
18
19    return f_sim

```

2 Реализация функции `composite_trapezoid(a, b, n, f)` численного интегрирования с помощью составной формулы трапеций.

Рассмотрим составную формулу трапеций:

$$\int_a^b f(x)dx = \frac{h}{2} \left[f(x_1) + 2 \sum_{i=2}^n f(x_i) + f(x_{n+1}) \right] - \frac{(b-a)h^2}{12} f''(\xi), \quad (5)$$

где $x_i = a + (i-1)h$, $h = \frac{b-a}{n}$, $i = 1, \dots, n+1$, $n \in N$. При этом будем считать остаточный член слишком малым, поэтому в программной реализации он не учитывается. Тогда итоговый вид составной формулы трапеций будет выглядеть так:

$$\int_a^b f(x)dx = \frac{h}{2} \left[f(x_1) + 2 \sum_{i=2}^n f(x_i) + f(x_{n+1}) \right] \quad (6)$$

Листинг 2. Функция численного интегрирования составной формулой трапеций.

```
1 def composite_trapezoid(a, b, n, f):
2     h = (b - a) / n
3     len_f = len(f)
4     sum = 0
5
6     for i in range(1, len_f - 1):
7         sum += f[i]
8
9     f_sim = (h / 2) * (f[0] + 2 * sum + f[len_f - 1])
10
11     return f_sim
```

3 Построение log-log графика зависимости абсолютной погрешности численного интегрирования от шага интегрирования

Введем определение абсолютной погрешности. Абсолютной погрешностью приближенного значения a называют величину $\Delta(a^*)$, которая определена как:

$$\Delta(a^*) = |a - a^*|, \quad (7)$$

где a - точное значение.

Для нахождения абсолютной погрешности посчитаем истинное значение интеграла (1):

$$F[y] = \int_0^a \sqrt{\frac{1 + (y'(x))^2}{2gy(x)}} dx \quad (8)$$

$$\begin{aligned}
dx &= \frac{1}{2}C[2dt - 2\cos(2t)dt] = C[1 - \cos(2t)]dt \\
dy &= \frac{1}{2}C[0 - \sin(2t)2dt] = C\sin(2t)dt \\
y'(x) &= \frac{dy}{dx} = \frac{dy}{dt} \frac{dt}{dx} = \frac{C\sin(2t)dt}{C[1 - \cos(2t)]dt} = \frac{\sin(2t)}{1 - \cos(2t)} \\
F[y] &= \frac{1}{\sqrt{2g}} \int_0^{t_a} \sqrt{\frac{1 + (\frac{\sin(2t)}{1 - \cos(2t)^2})}{\frac{1}{2}C[1 - \cos(2t)]}} C[1 - \cos(2t)]dt \quad (9)
\end{aligned}$$

$$\begin{aligned}
F[y] &= \frac{1}{\sqrt{2g}} \int_0^{t_a} \sqrt{\frac{1 - 2\cos(2t) + \cos^2(2t) + \sin^2(2t)}{1 - \cos(2t)}} 2Cdt \quad (10) \\
&= \frac{1}{\sqrt{2g}} \int_0^{t_a} \sqrt{\frac{2(1 - \cos(2t))}{1 - \cos(2t)}} 2Cdt = \sqrt{\frac{2C}{g}} \int_0^{t_a} dt
\end{aligned}$$

Так как верхний предел интегрирования $t_a = T$, для $g = 10$:

$$F[y] = \sqrt{\frac{2C}{g}} T \approx 0,7978742693373146 \quad (11)$$

Для осуществления программной реализации перейдем к интегрированию по t , соответственно для вычисления значения интеграла по формулам Симпсона и трапеций используем (10). Тогда абсолютная погрешность будет вычисляться по формуле (7), где a - значение, полученное по формуле (11), a^* - значение, полученное по формуле Симпсона/трапеций.

Запишем формулу Симпсона, при этом: $x_i = a + (i - 1)h$, $h = \frac{b-a}{n}$, $i = 1, \dots, n + 1$, где n - четное число:

$$\int_a^b f(x) = \frac{h}{3} \left[f(x_1) + 2 \sum_{i=1}^{n/2-1} f(x_{2i+1}) + 4 \sum_{i=1}^{n/2} f(x_{2i}) + f(x_{n+1}) + \frac{(b-a)h^4}{180} f^4(\xi) \right] \quad (12)$$

Запишем формулу трапеций, при этом: $x_i = a + (i - 1)h$, $h = \frac{b-a}{n}$, $i = 1, \dots, n + 1$, где $n \in N$:

$$\int_a^b f(x) = \frac{h}{2} \left[f(x_1) + 2 \sum_{i=2}^{n/2-1} f(x_i) + f(x_{n+1}) + \frac{(b-a)h^2}{12} f''(\xi) \right] \quad (13)$$

Пусть $F[y] = \frac{1}{\sqrt{2g}} \sqrt{\frac{1 + (\frac{\sin(2t)}{1 - \cos(2t)^2})}{\frac{1}{2}C[1 - \cos(2t)]}} C[1 - \cos(2t)]$ интегрируемая функция, рассмотрим пределы интегрирования. Так как функция имеет разрыв на отрезке $[0; 2]$ в $x = 0$,

допустим, что нижняя граница интегрирования равна $1e-7$, тогда истинное значение интеграла (1) будет вычисляться следующим образом:

$$F[y] = \sqrt{\frac{2C}{g}}(T - 10^{-7}) \quad (14)$$

Перейдем к программной реализации, сгенерируем значения t , при этом $a = 1e-7$, $b = T$, количество узлов $n \in [3; 9999]$ создадим с шагом 100, программно вычислим истинное значение интеграла. Каждую итерацию вычисляем абсолютную погрешность и шаг интегрирования, после чего строим точки, где координата x - шаг интегрирования, а y - абсолютная погрешность.

Листинг 3. Построение log-log графика.

```

1  n = [i for i in range(3, 10000, 100)]
2  f_real = get_real(a)
3
4  for item in n:
5      h = (b - a) / item
6      y = abs(f_real - composite_simpson(a, b, item, create_f(a, b, item)))
7      plt.scatter(h, y, color="darkturquoise", s=7, label="simpson")
8      y = abs(f_real - composite_trapezoid(a, b, item, create_f(a, b, item)))
9      plt.scatter(h, y, color="yellowgreen", s=7, label="trapezoid")

```

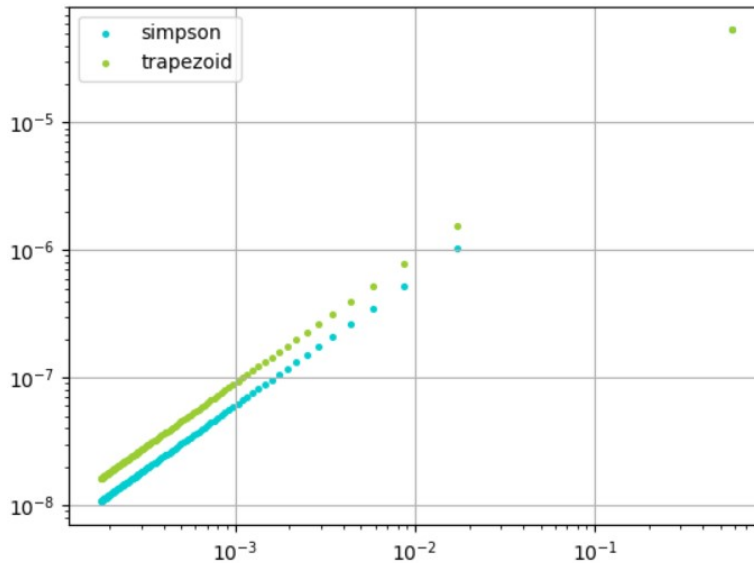


Рис. 1. log-log график зависимости абсолютной погрешности численного интегрирования от шага интегрирования.

4 Определение порядка точности формулы по графику. Сравнение порядка точности, полученного с помощью графика, с аналитическим.

Дадим определение порядка точности. Порядок точности - наибольшая степень полинома, для которой численный метод даёт точное решение задачи. Иными словами, говорят, что численный метод имеет порядок точности d , если его остаток R_n равен нулю для любого полинома степени d , но не равен нулю для полинома степени $d + 1$. Обозначим порядок точности как $O(h)$. В рамках лабораторной работы порядок точности представляет зависимость точности от величины шага. На рис. 5 представлен log-log график, поэтому порядок точности определяется как тангенс угла наклона графика, так как при логарифмировании степень точности численного метода становится тангенсом угла наклона.

$$tg(\alpha) = \frac{lg10^{-6} - lg10^{-7}}{lg10^{-2} - lg10^{-3}} = 1 \quad (15)$$

Заметим, что график для формулы Симпсона параллелен графику для формулы трапеций, соответственно углы равны.

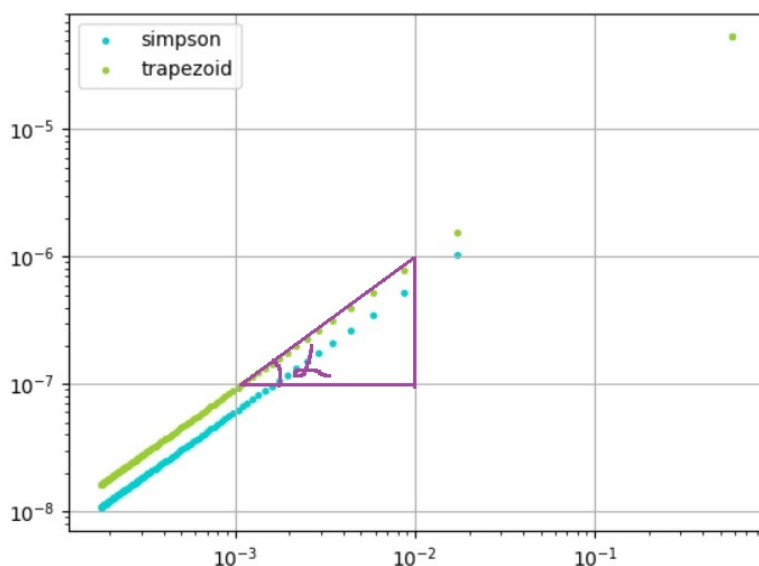


Рис. 2. Определение порядка точности как тангенс угла наклона.

Получаем $O(h) = 1$ для формулы Симпсона и для формулы трапеций, заметим, что аналитический порядок точности для формулы Симпсона равен 4, для формулы трапеций - 2 (определяется как степень остаточного члена). Такое различие объясняется недостаточной гладкостью функции. Введем определение гладкости функции. Гладкая функция — это функция, имеющая непрерывную производную на всем множестве определения. Рассматривают также гладкие функции высших порядков, а именно,

функция с порядком гладкости g имеет непрерывную производную порядка g . Первая производная функции $F[y] = \frac{1}{\sqrt{2g}} \sqrt{\frac{1 + (\frac{\sin(2t)}{1 - \cos(2t)})^2}{\frac{1}{2} C[1 - \cos(2t)]}} C[1 - \cos(2t)]$ равна:

$$F'[y] = \frac{2\cos(2x)(1 - \cos(2x)) - 4\cos(2x)\sin^2(2x)}{\sqrt{(2)}\sqrt{(g)}(1 - \cos^2(2x))^2\sqrt{(\frac{\sin(2x)}{1 - \cos^2(2x)} - 1)}} \quad (16)$$

Построим график производной(16), используя программную реализацию на языке программирования Python. В данном случае реализованы две функции: нахождение значения производной в заданной точке и функция построения графика, которая итеративно находит значения производной в точках, сгенерированных с помощью `np.linspace()`.

Листинг 4. Построение графика производной(16).

```

1 def diff_f(x):
2     g = 10
3     try:
4         nom = 2 * np.cos(2 * x) * (1 - np.cos(2 * x) ** 2) - 4 * np.cos(2 * x) * np.sin(2 *
5             x) ** 2
6         dom = np.sqrt(2) * np.sqrt(g) * ((1 - np.cos(2 * x) ** 2) ** 2) * np.sqrt(np.sin(2 *
7             x) / (1 - np.cos(2 * x) ** 2) + 1)
8         f = nom / dom
9         if f > 40 or f < -40:
10             raise ValueError
11     except ValueError:
12         print("ERROR")
13         return None
14
15
16 def plot_diff_f():
17     x = np.linspace(-4, 4, 5000)
18     y = []
19     for item in x:
20         y.append(diff_f(item))
21
22     plt.plot(x, y, color="navy", label="diff f")
23     plt.legend()
24     plt.grid(True)
25     plt.show()

```

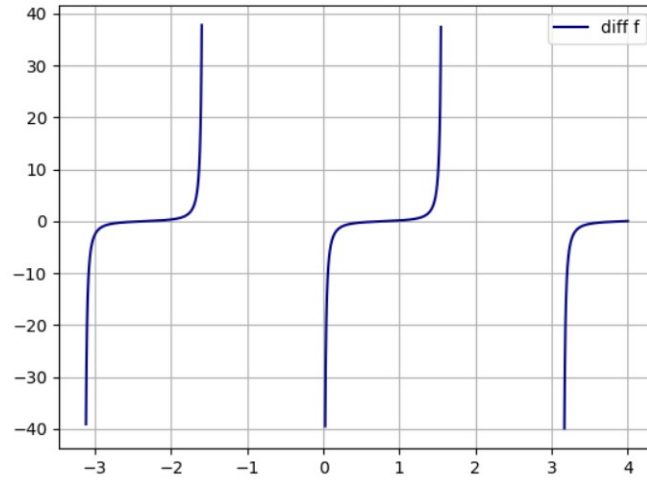


Рис. 3. График производной(16).

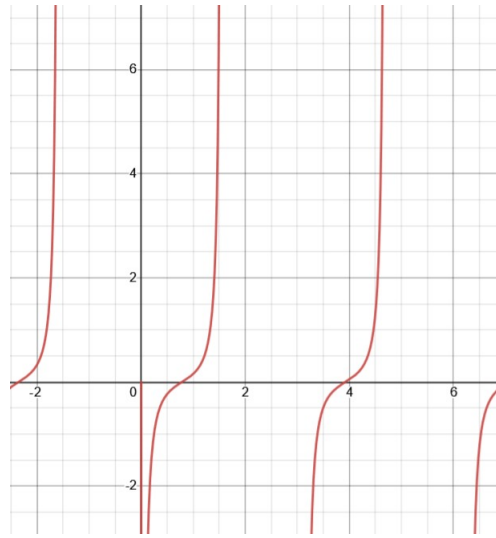


Рис. 4. График производной(16), построенный в Desmos.

Заметим, что функция терпит разрыв, в точках $x = 0 \pm i\Pi$, где $i = 0, 1, \dots$, соответственно функция(16) не является непрерывной на участке $[0; 2]$, поэтому можно утвер-

ждать, что $F[y] = \frac{1}{\sqrt{2g}} \sqrt{\frac{1 + (\frac{\sin(2t)}{1 - \cos(2t)^2})}{\frac{1}{2}C[1 - \cos(2t)]}} C[1 - \cos(2t)]$ недостаточно гладкая, отсюда такая разница в порядках точности. Именно разрыв функции поспособствовал изменению нижней границы интегрирования при работе с численными методами.

5 Определение оптимального шага интегрирования для заданной формулы

По сравнению с дифференцированием, операция интегрирования способна к стабилизации вычислительной погрешности. Интуитивное объяснение этого эффекта заключается в том, что интегрирование предполагает суммирование близких значений, в то время как дифференцирование вычисляет их разность.

Рассмотрим составную формулу Симпсона и предположим, что значение $f(x)$ в точке x_i вычисляется с погрешностью округления e_i :

$$f(x_i) = \tilde{f}(x_i) + e_i, i = 1, \dots, n + 1 \quad (17)$$

Тогда полная погрешность округления, накапливаемая составной формулой Симпсона, может быть оценена следующим образом:

$$e(h) = \frac{h}{3} \left[e_1 + 2 \sum_{i=1}^{n/2-1} e_{2i+1} + 4 \sum_{i=1}^{n/2} e_{2i} + e_{n+1} \right] \leq \frac{h}{e} \left[|e_1| + 2 \sum_{i=1}^{n/2-1} |e_{2i+1}| + 4 \sum_{i=1}^{n/2} |e_{2i}| + |e_{n+1}| \right]. \quad (18)$$

Предположим, что погрешность округления ограничена, например, машинным эпсилон: $|e_i| \leq \epsilon$, $i = 1, \dots, n + 1$. Тогда полная погрешность оценивается как:

$$e(h) \leq \frac{h\epsilon}{3} \left[1 + 2\left(\frac{n}{2} - 1\right) + 4\frac{n}{2} + 1 \right] = nh\epsilon = (b - a)\epsilon. \quad (19)$$

Этот результат показывает, что верхняя грань для накопленной погрешности округления не зависит от n или h , что означает, что увеличение числа подотрезков не приводит к дестабилизации полной погрешности. Действительно, можно заметить, что полная погрешность интегрирования падает до тех пор, пока она не достигнет значения, сравнимого с машинным эпсилон, после чего уменьшение погрешности становится невозможным, и она стабилизируется на уровне машинного эпсилон.

6 Преобразование задачи о минимизации функционала к полудискретной форме

Рассмотрим функционал:

$$F[y] = \int_0^a \sqrt{\frac{1 + (y'(x))^2}{2gy(x)}} dx \quad (20)$$

Задача минимизации состоит в нахождении:

$$y^*(x) = \operatorname{argmin} F[y] \quad (21)$$

Осуществим кусочно-линейную интерполяцию, т.е. график интерполированной функции будет представлен линейной комбинацией прямых, уравнения которых заданы для каждого участка на интервале $[0; a]$.

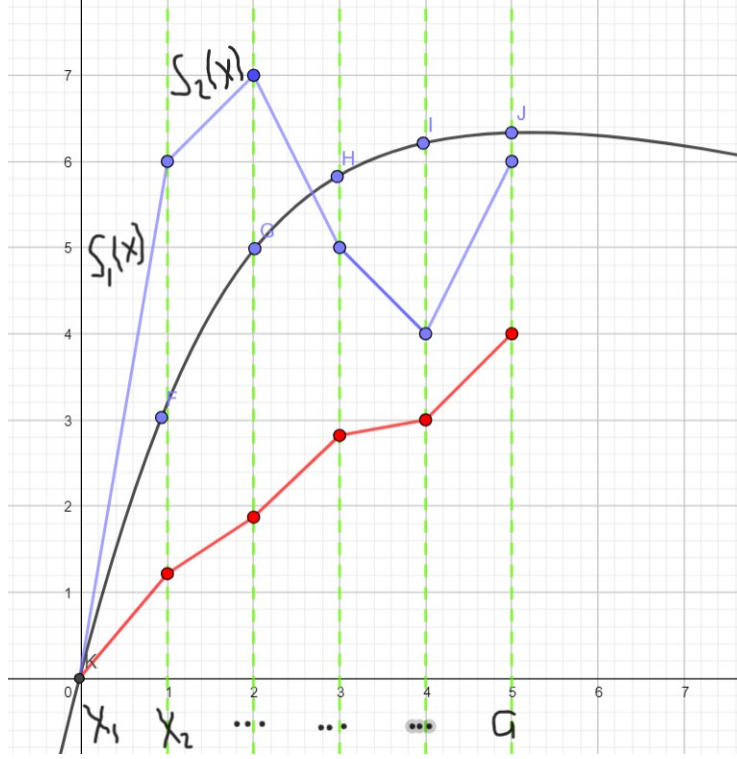


Рис. 5. Кусочно-линейная интерполяция функции(20).

Тогда, учитывая, что $y(x) = \sum_{i=1}^{n-1} S_i(x) = \sum_{i=1}^{n-1} \alpha_i + \beta_i x$, функционал будет представлен в виде суммы интегралов:

$$F[y] = \sum_{i=1}^{n-1} \int_{x_i}^{x_{i+1}} \sqrt{\frac{1 + \beta_i^2}{2g}} \frac{dx}{\sqrt{\alpha_i + \beta_i x}} = H(\alpha, \beta)$$

Для решения данной задачи необходимо найти α_i и β_i , рассмотрим задачу минимизации при нахождении коэффициентов прямой, тогда задача интерполяции будет "вложена" в задачу оптимизации. Найдем производные $H(\alpha, \beta)$ по α_i и β_i , приравняем их к нулю, после чего выражаем соответствующие коэффициенты. Следует учесть граничные условия, т.к. именно на граничных узлах заданы значения соответствующих ординат. Также запишем уравнение для сопряжения соседних узлов в итоговую СЛАУ.

$$\begin{cases} \frac{\delta H}{\delta \alpha_i} = 0, \\ \frac{\delta H}{\delta \beta_i} = 0 \end{cases}$$

$$\frac{\delta H}{\delta \alpha_j} = \sum_{j=1}^{n-1} \sqrt{\frac{1 + \beta_j^2}{2g}} \int_{x_j}^{x_{j+1}} \frac{\delta}{\delta \alpha_j} \frac{dx}{\sqrt{\alpha_j + \beta_j x}} = \sqrt{\frac{1 + \beta_j^2}{2g}} \int_{x_j}^{x_{j+1}} (\alpha_j + \beta_j x)^{-\frac{3}{2}} dx$$

$$\begin{aligned}
\frac{\delta H}{\delta \beta_j} &= \sum_{i=1}^{n-1} \int_{x_i}^{x_{i+1}} \frac{\delta}{\delta \beta_j} \left[\left(\frac{1 + \beta_i^2}{2g(\alpha_u + \beta_i x)} \right)^2 \right] = \int_{x_j}^{x_{j+1}} \left(\frac{\alpha_j + \beta_j x}{2g(1 + \beta_j^2)} \right)^2 \frac{\beta + j\alpha_j - x}{2(\alpha_j + \beta_j x)^2} dx \\
&= \int_{x_j}^{x_{j+1}} \left(\frac{\alpha_j + \beta_j x}{2g(1 + \beta_j^2)} \right)^{\frac{1}{2}} \frac{\beta_j \alpha_j - x}{2(\alpha_j + \beta_j x^2)} dx
\end{aligned}$$

Тогда итоговая система, содержащая граничные условия и условия сопряжения соседних узлов будет выглядеть следующим образом:

$$\begin{cases}
\sqrt{\frac{1+\beta_j^2}{2g}} \int_{x_j}^{x_{j+1}} (\alpha_j + \beta_j x)^{-\frac{3}{2}} dx = 0, j = 1, 2, \dots, n-1 \\
\int_{x_j}^{x_{j+1}} \left(\frac{\alpha_j + \beta_j x}{2g(1+\beta_j^2)} \right)^{\frac{1}{2}} \frac{\beta_j \alpha_j - x}{2(\alpha_j + \beta_j x^2)} dx = 0 \\
S_j(x_{j+1}) = S_{j+1}(x_{j+1}), j = 1, \dots, n-2 \\
S_1(0) = 0 \\
S_{n-1}(a) = y_a
\end{cases} \quad (22)$$

7 Преобразование задачи к полностью дискретной форме с помощью составной формулы Симпсона

Решение системы уравнений(22) позволит перейти в полудискретной форме, однако нахождение коэффициентов прямых довольно нетривиальная задача, выразить их "в лоб" невозможно, использование численных методов для упрощения записи не дало никаких результатов(использовалась составная формула Симпсона).

В случае решения данного СЛАУ(22) осуществляется переход к полудискретной форме, тогда используя составную формулу Симпсона для нахождения интеграла(20) можно перейти к полностью дискретной форме.

8 Решение задачи минимизации, используя различные конфигурации дискретизации. Оценка зависимости погрешности решения от шага интерполяции и шага интегрирования

Для минимизации воспользуемся модулем `scipy.optimize`, который включает в себя следующие функции:

1. Условной и безусловной минимизации скалярных функций нескольких переменных (`minim`) с помощью различных алгоритмов (симплекс Нелдера-Мида, BFGS, сопряженных градиентов Ньютона, COBYLA и SLSQP)
2. Глобальной оптимизации (например: `basinhopping`, `diff_evolution`)

3. Минимизация остатков МНК (least_squares) и алгоритмы подгонки кривых нелинейным МНК (curve_fit)
4. Минимизации скалярной функций одной переменной (minim_scalar) и поиска корней (root_scalar)
5. Многомерные решатели системы уравнений (root) с использованием различных алгоритмов (гибридный Пауэлла, Левенберг-Марквардт или крупномасштабные методы, такие как Ньютона-Крылова).

Будем варьировать шаг интерполяции и шаг интегрирования от 10^{-3} до 1, на каждой итерации находим погрешность и строим соответствующие точки (x - шаг интегрирования, y - шаг интерполяции, z - погрешность). По полученному графику оценим зависимость погрешности решения от шага интерполяции и шага интегрирования.

9 Заключение



1. В ходе лабораторной работы были реализованы численные методы, осуществлена оценка зависимости абсолютной погрешности численного интегрирования от шага интегрирования.
2. Решение интегрировать по t привело к несовпадению аналитического порядка точности с порядком точности, полученного с помощью графика, вследствие чего была исследована производная подынтегральной функции. Заданная формула, как и ожидалось, оказалась вычислительно устойчивой, что сказалось на отсутствии оптимального шага интегрирования.
3. Преобразование задачи минимизации функционала к полудискретной форме свелось к получению суммы интеграла путем кусочно-линейной интерполяции, которая стала частью процесса оптимизации. В итоге была получена СЛАУ, решение которой позволяет получить полудискретную форму задачи минимизации.
4. В виду отсутствия решения СЛАУ построить график зависимости погрешности от шага интегрирования и шага интерполяции невозможно, следовательно и оценить эту зависимость можно лишь эмпирически.

Список использованных источников

1. Першин А.Ю. Лекции по курсу «Вычислительная математика». Москва, 2018-2021. С. 140.
2. <https://habr.com>

Выходные данные

Кутепов Н. С.. Отчет о выполнении лабораторной работы по дисциплине «Вычислительная математика». [Электронный ресурс] — Москва: 2021. — 16 с. URL: <https://sa2systems.ru:88> (система контроля версий кафедры РК6)

Постановка:  ассистент кафедры РК-6, PhD А.Ю. Першин
Решение и вёрстка:  студент группы РК6-55Б, Кутепов Н. С.

2021, осенний семестр